

کارایی آنالیز کمی پارامترهای ژئومورفومتریک در تهیه نقشه حساسیت فرسایش خاک (مطالعه موردی: حوضه منج)

مجتبی یمانی^۱- استاد ژئومورفولوژی، دانشگاه تهران، تهران، ایران.
علیرضا عرب عامری- دکترای ژئومورفولوژی دانشگاه تربیت مدرس، تهران، ایران.

تاریخ دریافت: ۱۳۹۶/۱۰/۱۰

چکیده

ژئومورفومتری زیرمجموعه‌ای از ژئومورفولوژی است که دارای رویکرد اندازه‌گیری کمی و کیفی عوارض سطح زمین می‌باشد. ژئومورفومتری شبکه زهکشی در فهم فرآیندهای تشکیل دهنده لندفرم‌ها، خواص فیزیکی خاک و ویژگی‌های فرسایشی آن بسیار مهم است. در این پژوهش با استفاده از آنالیز پارامترهای ژئومورفومتریک و روش‌های فاکتور ترکیب و VIKOR به اولویت‌بندی فرسایش‌پذیری زیرحوضه‌های حوضه آبخیز منج در استان چهارمحال و بختیاری که یک منطقه حساس به فرسایش می‌باشد، پرداخته شده است. بدین‌منظور از مدل رقومی ASTER با دقت ۳۰ متر و ArcGIS برای استخراج و آنالیز ۲۲ پارامتر ژئومورفومتریک که شامل پارامترهای پایه، خطی، شکلی و توپوگرافیک است، استفاده گردید. به‌منظور صحبت‌سنگی روش‌ها از مقادیر عددی فرسایش ویژه استخراج شده برای هر یک از زیرحوضه‌ها استفاده شده است. طبق نتایج پارامترهای تراکم زهکشی، شیب و عدد نفوذ بیشترین تأثیر را در فرسایش‌پذیری داشته‌اند. نتایج حاصل از اولویت‌بندی زیرحوضه‌ها نشان داد که در هر دو روش زیرحوضه ۱ دارای بیشترین حساسیت به فرسایش است که علت آن بالا بودن مقادیر پارامترهای خطی و توپوگرافیک و پایین بودن مقادیر پارامترهای شکلی در آن می‌باشد. پس از اولویت‌بندی زیرحوضه‌ها، حوضه منج با مساحت ۷۰/۷۰۷ کیلومترمربع، از لحاظ حساسیت به فرسایش به ۳ کلاس حساسیت خیلی زیاد، زیاد، متوسط در مدل فاکتور ترکیب و به چهار کلاس حساسیت خیلی زیاد، زیاد، متوسط و کم در مدل VIKOR طبقه‌بندی گردید. مقایسه نتایج حاصل از اولویت‌بندی زیرحوضه‌ها با مقادیر عددی فرسایش ویژه اندازه‌گیری شده برای هر یک از زیرحوضه‌ها نشان داد که پارامترهای ژئومورفومتریک دارای کارایی بالایی

در شناسایی مناطق حساس به فرسایش بوده و همچنین روش VIKOR دارای دقت پیش‌بینی بالاتری نسبت به روش فاکتور ترکیب است.

کلیدواژه‌ها: فرسایش‌پذیری، فرسایش خاک، پارامترهای ژئومورفومتریک، حوضه منج.

۱- مقدمه

بیش از چند دهه ژئومورفولوژیست‌ها از روش‌های کیفی برای توصیف و بررسی لندفرم‌ها استفاده می‌کردند، لیکن در اوایل دهه ۱۹۶۰ روش‌های کمی وارد مطالعه لندفرم‌ها گردید (Kosmas Pavlopoulos et al., 2009) در ژئومورفولوژی کمی ویژگی‌های فضایی و آماری و همچنین ارتباطات ویژگی‌های نقطه‌ای مورد مطالعه قرار می‌گیرد (Evans, 1972). یکی از علمی که در این زمینه کمک شایانی به ژئومورفولوژی کرده است، دانش ژئومورفومتری است. ژئومورفومتری دانش تجزیه و تحلیل کمی پستی و بلندی‌های سطح زمین و استخراج پارامترهای آن به‌وسیله مدل رقومی ارتفاعی است (Dehn, 2001; Shary et al., 2002; Pike, 2009; Jang et al., 2013). این علم از تکنیک‌های ریاضی، آماری و پردازش تصاویر برای کمی‌سازی شکل توپوگرافی زمین در مقیاس‌های فضایی مختلف استفاده می‌کند (Shary et al., 2002). هدف اصلی در ژئومورفومتری، استخراج پارامترهای سطح زمین و شکل سطح زمین از مدل رقومی ارتفاعی است که اولی اشاره به خصوصیات پیوسته نظری شیب، جهت‌شیب دارد و در قالب نقشه‌ها و تصاویر رستری تولید و استخراج می‌شود. دومی اشاره به پدیده‌های مکانی مجرزا از هم نظری مخروطافکه، شبکه زهکش و خط حوضه آبخیز دارد که به صورت یک نقشه وکטורی و در قالب خطوط، نقشه و چندضلعی تولید می‌شود (Evans, 1972). تأثیر ژئومورفومتری شبکه زهکشی در فهم فرآیندهای تشکیل‌دهنده لندفرم، خواص فیزیکی خاک و ویژگی‌های فرسایشی آن بسیار مهم است (Okumura & Araujo, 2014). با توجه به این که حوضه منج، یک منطقه حساس به فرسایش است و فرسایش خاک سالیانه خساراتی را به مردم منطقه وارد می‌نماید، لذا استفاده از پارامترهای ژئومورفومتریک کمک شایانی در زمینه شناسایی و اولویت‌بندی مناطقی که حساسیت بیشتری به فرسایش دارند به‌منظور انجام طرح‌های حفاظتی و مدیریتی در آن می‌کند. حوضه زهکشی به عنوان منشأ فرسایش رودخانه‌ای و هادرفت خاک شناخته می‌شود که از طریق انتقال رواناب‌های سطحی به یک کانال مبنایی را برای آنالیزهای ژئومورفومتری فراهم می‌کند (Patel et al., 2013). فرسایش خاک یک مسئله محیطی جدی در سراسر جهان است که زندگی و دارایی میلیون‌ها انسان را تحت تأثیر قرار داده است و باعث کاهش بهره‌وری خاک از طریق برداشت و حمل خاک‌های سطحی حاصلخیز و همچنین کاهش رشد گیاهان، پرشدن دره‌ها و مخازن از رسوب و تشکیل دلتا در مناطق ساحلی می‌گردد (Gessesse et al., 2015; Prosdocimi et al., 2016; Keesstra et al., 2016). در دهه اخیر، آنالیز ژئومورفومتریک شبکه‌های زهکشی در زمینه‌های مختلفی مانند ارزیابی منابع طبیعی و خطرات زیست‌محیطی مخصوصاً سیلاب‌های ناگهانی در حوضه‌های آبخیز مناطق خشک (Lattif & Sherief, 2012)، ارزیابی پتانسیل

آب‌های زیرزمینی و رفتار هیدرولوژیکی حوضه‌های آبخیز (Malik et al., 2011)، و اولویت‌بندی حوضه‌های آبخیز به منظور حفاظت از منابع آب‌وخاک (Singh et al., 2008) مورد استفاده قرار گرفته است. تکنیک‌های سنجش از دور و سیستم اطلاعات جغرافیایی قدرتمندترین ابزار جهت مدیریت حوضه آبخیز و اولویت‌بندی زیرحوضه‌ها برای حفاظت از منابع آب‌وخاک می‌باشند. همچنین آنالیز کمی حوضه‌های زهکشی تکنیک پایه جهت شناخت ویژگی‌های زیرحوضه‌ها و آنالیز ژئومورفومتریک حوضه‌های زهکشی و شبکه آبراهه است. آنالیز ژئومورفومتریک از طریق اندازه‌گیری پارامترهای پایه، خطی، شکلی و توپوگرافیک شبکه زهکشی امکان‌پذیر است; Chatterjee et al., 2013; Okumura & Araujo, 2014). تاکنون در زمینه ارزیابی کارایی پارامترهای ژئومورفومتریک در اولویت‌بندی زیرحوضه‌های آبخیز و تهیه نقشه فرسایش خاک مطالعات نسبتاً کمی در داخل و خارج از کشور صورت گرفته است به گونه‌ای که آمانی و نجفی نژاد در سال ۱۳۹۳ به اولویت‌بندی زیرحوضه‌ها با استفاده از آنالیز مورفومتری، فنون سنجش از دور^۱ و سیستم اطلاعات جغرافیایی^۲ در حوضه آبخیز لهستان در استان گلستان پرداخته‌اند. به منظور آنالیز مورفومتری از پارامترهای طول آبراهه، نسبت انشعاب، تراکم زهکشی، ضریب شکل، ضریب گردی، ضریب کشیدگی و ضریب فشردگی استفاده کردند و به این نتیجه رسیدند که از نظر پارامترهای مورفومتری زیرحوضه B5 از بین ۱۱ زیرحوضه دارای بیشترین حساسیت نسبت به فرسایش می‌باشد (آمانی و نجفی، ۱۳۹۳). رحمتی و همکاران در سال ۱۳۹۴ با استفاده از پارامترهای مورفومتریک و روش ترکیب خطی وزنی به اولویت‌بندی سیل خیزی زیرحوضه‌های آبخیز استان گلستان پرداخته‌اند؛ بدین‌منظور از ۸ پارامتر مرفومتریک شامل نسبت انشعاب، تراکم زهکشی، ثابت نگهداری آبراهه، فراوانی آبراهه، ضریب فرم، نرخ بافت زهکشی، نسبت ناهمواری و عدد ناهمواری استفاده کردند و به این نتیجه رسیدند که زیرحوضه‌های ۳، ۶ و ۹ دارای اولویت بالاتری نسبت به دیگر زیرحوضه‌ها برای اقدامات آبخیزداری می‌باشند (رحمتی و همکاران، ۱۳۹۴). فلاخ و همکاران در سال ۱۳۹۴ با استفاده از پارامترهای مورفومتری و کاربری اراضی به اولویت‌بندی زیرحوضه‌های حوضه آبخیز تالار در استان مازندران پرداخته‌اند؛ بدین‌منظور از پارامترهای مورفومتری خطی (تراکم زهکشی، نسبت انشعاب، فراوانی آبراهه، بافت زهکشی و طول جریان) و پارامترهای مورفومتری شکلی (نسبت کشیدگی، ضریب فشردگی، ضریب گردی، شاخص شکل و فاکتور شکل) استفاده کردند و منطقه را از لحاظ کاربری اراضی به ۵ کلاس مرتع، جنگل، مسکونی، کشاورزی آبی و کشاورزی دیم طبقه‌بندی کردند. طبق نتایج بر مبنای تأثیر دو پارامتر مورفومتری و کاربری اراضی زیرحوضه‌ها را در ۴ اولویت خیلی زیاد، زیاد، متوسط و کم طبقه‌بندی کردند (فلاح و همکاران، ۱۳۹۴). اقبال و سجاد در سال ۲۰۱۴ به اولویت‌بندی زیرحوضه‌ها با استفاده از پارامترهای مورفومتری و کاربری اراضی پرداخته و زیرحوضه‌ها را به ۳ کلاس اولویت بالا، متوسط و کم جهت اقدامات آبخیزداری تقسیم‌بندی کردند (Iqbal & Sajjad,

1 Remote Sensing

2 Geography Information System

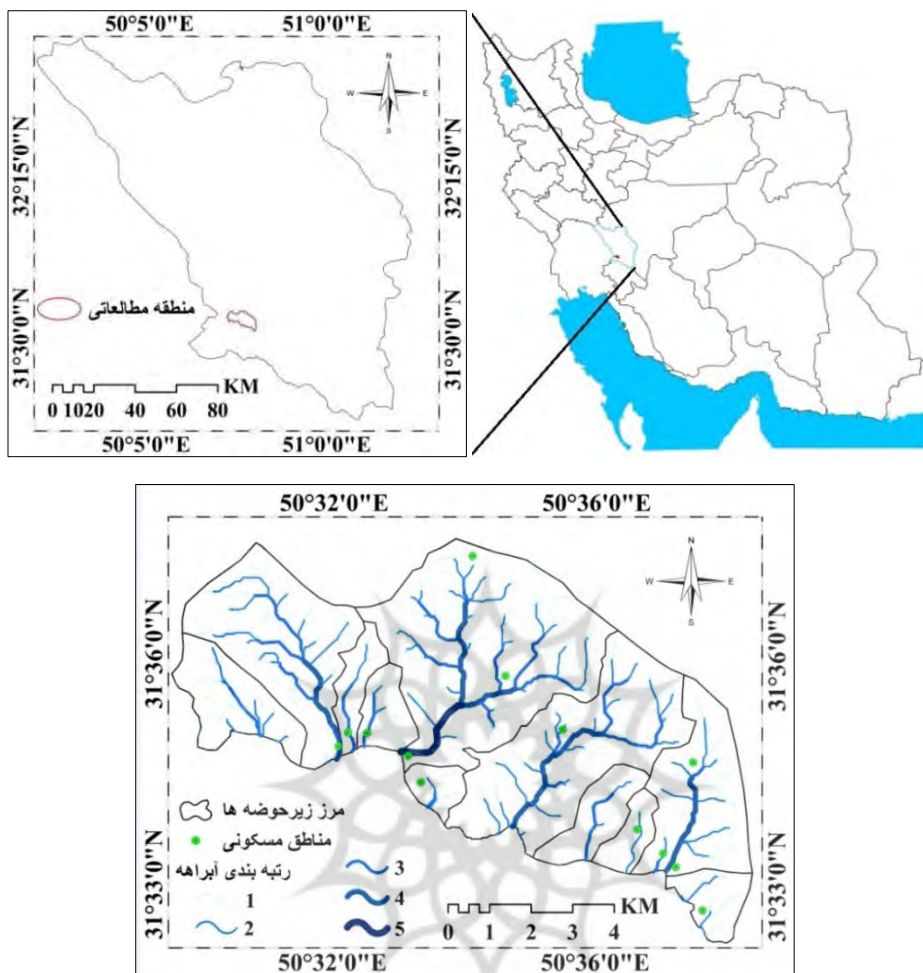
2014). فرهان و همکاران در سال ۲۰۱۵ به آنالیز کمی پارامترهای ژئومورفومتریک با استفاده از سنجش از دور و سیستم اطلاعات جغرافیایی در وادی کراک^۱ پرداخته‌اند و به این نتیجه رسیدند که بر اساس آنالیز پارامترهای ژئومورفومتریک منطقه وادی کراک دارای حساسیت بالایی نسبت به فرسایش می‌باشد (Farhan et al., 2015). عرب‌عامری و همکاران در سال ۲۰۱۸ به اولویت‌بندی فرسایش‌پذیری زیرحوضه‌های حوضه آبخیز قائم شهر و تهیه نقشه فرسایش خاک با استفاده از روش‌های تصمیم‌گیری چندمعیاره پرداخته‌اند و به این نتیجه رسیدند که روش ویکور دارای کارایی بالاتری نسبت به روش‌های دیگر در تهیه نقشه فرسایش خاک با استفاده از پارامترهای مورفومتری می‌باشد (Arabameri et al., 2018). هدف از این پژوهش آنالیز کمی پارامترهای ژئومورفومتریک و تهیه نقشه حساسیت فرسایش‌پذیری خاک با استفاده از الگوریتم توافقی ویکور و روش فاکتور ترکیب می‌باشد. استفاده از پارامترهای ژئومورفومتریک در شناسایی مناطق حساس به فرسایش در کنار روش‌های ویکور و فاکتور ترکیب نوآوری این تحقیق نسبت به مطالعات پیشین می‌باشد. به‌منظور صحت‌سنجی مدل از روش PSIAc^۲ استفاده گردید.

۲- مواد و روش‌ها

۱-۲- منطقه مورد مطالعه

حوضه آبریز منج با مساحت ۷۰/۲۱ کیلومتر مربع در فاصله تقریبی ۱۸۷ کیلومتری جنوب غربی شهر کرد در استان چهارمحال و بختیاری قرار گرفته است. گستره این حوضه بین مختصات جغرافیایی ۵۰ درجه و ۲۹ دقیقه و ۲۹ ثانیه تا ۵۰ درجه و ۳۸ دقیقه و ۲۳ ثانیه طول شرقی و ۳۱ درجه و ۳۲ دقیقه و ۱۴ ثانیه تا ۳۱ درجه و ۳۷ دقیقه و ۳۲ ثانیه طول شرقی عرض شمالی واقع شده است (شکل ۱). حداقل ارتفاع حوضه واقع در قسمت غرب حوضه با ارتفاع ۱۹۹۹ و حداقل ارتفاع واقع در قسمت جنوب غربی حوضه با ارتفاع ۱۱۰۰ متر از سطح دریاست. از نظر تقسیمات حوضه‌ای محدوده مطالعاتی حوضه آسمانگر جزئی از حوضه آبریز رودخانه کارون می‌باشد. روستاهای آسمانگر، تیرسامان، بیدله، کلواری منج و قلعه سومی در این حوضه واقع‌اند.

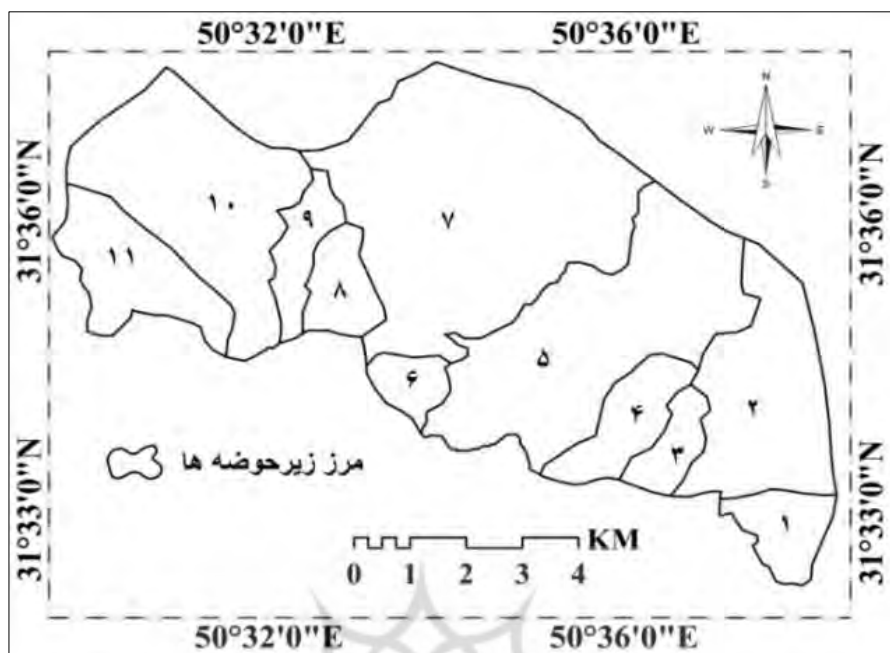
۱ Wadi Kerak
2 Pacific Southwest Inter-Agency Committee



شکل ۱- موقعیت منطقه مطالعاتی

۲-۲- روش پژوهش

پژوهش حاضر از نوع کاربردی است. در این پژوهش از آنجایی که واحدهای هیدرولوژیک مبنای بررسی پارامترهای ژئومورفومنتریک می‌باشند، لذا با استفاده از شبکه آبراهه‌ها و منحنی‌های ارتفاعی نقشه‌های توپوگرافی ۱:۵۰۰۰۰ و داده‌های رقومی ارتفاعی حاصل از تصاویر آستر نسخه دوم (با قدرت تفکیک مکانی ۳۰ متر) در محیط ArcGIS10.4 و به کارگیری الحاقیه SAGA GIS v.3.0.0 و Arc Hydro اقدام به تدقیق مرز واحدهای هیدرولوژیک و تعیین زیرحوضه‌ها گردید (شکل ۲).



شکل ۲- زیرحوضه‌های حوضه آبخیز منج

پس از تعیین مرز زیرحوضه‌ها، رتبه‌بندی آبراهه‌ها بر اساس سیستم رتبه‌بندی آبراهه‌ها ارائه شده توسط استرال (Strahler, 1957) انجام گرفت. داده‌های رقومی ارتفاعی حاصل از تصاویر آستر نسخه دوم مبنای استخراج پارامترهای ژئومورفومتریک پایه، خطی، شکلی و توپوگرافیک گردید. پارامترهای ژئومورفومتریک مذکور، به کمک نرم‌افزار ArcGIS10.4 و به کارگیری الحاقیه Arc Hydro و روابط ارائه شده در جدول ۱ محاسبه و داده‌های مورد نیاز بای مرحله بعد تهیه شد. با توجه به این‌که داده رقومی ارتفاعی (DEM-ASTER-30m) مبنای محاسبه پارامترها می‌باشد. قبل از محاسبه پارامترهای ژئومورفومتریک با استفاده از الحاقیه Arc Hydro اقدام به پیش‌پردازش و آماده‌سازی داده رقومی ارتفاعی (DEM-ASTER-30m) در محیط نرم‌افزار ArcGIS10.4 شد. پس از استخراج و آنالیز پارامترهای ژئومورفومتریک در هر یک از زیر حوضه‌ها، اقدام به اولویت‌بندی زیرحوضه‌ها با استفاده از الگوریتم ویکور و روش فاکتور ترکیب گردید و سپس نقشه حساسیت فرسایش خاک در منطقه مطالعاتی با هر دو روش تهیه گردید. بهمنظور صحت‌سنجی روش‌ها از روش PSIAc استفاده گردید. مراحل تحقیق در شکل ۳ نشان داده شده است.

جدول ۱- محاسبه پارامترهای ژئومورفومتریک پایه، خطی، شکلی و توپوگرافیک

مرجع	توضیحات	رابطه	پارامترها
Horton (1945)	مساحت سطح حوضه به کیلومترمربع	-	(A) ^۱
Horton (1945)	محیط حوضه به کیلومتر	-	(P) ^۲
Horton (1945)	رتبه‌بندی سلسه مراتبی	-	(U) ^۳
(Strahler, 1957)	تعداد آبراهه‌های تمامی رتبه‌ها		(Nu) ^۴
Nooka et al (2005)	طول حوضه به کیلومتر	$L_b = 1.321 \times A^{0.568}$	(L _b) ^۵
Horton (1945)	طول جریان به کیلومتر	-	(L _u) ^۶
Horton (1945)	طول کل آبراهه‌ها، Nu. تعداد کل آبراهه‌ها	$L_s = L_u / N_u$	(Lsm) ^۷
Schumm (1956)	تعداد آبراهه‌های یک رده (Nu) به تعداد آبراهه‌های رده بعدی (Nu+1)	$R_b = N_u / N_{u+1}$	(R _b) ^۸
Horton (1945)	میانگین نسبت‌های انشعاب تمامی رده‌ها	-	(Rbm) ^۹
Horton (1945)	طول تمامی رتبه‌های آبراهه به کیلومتر، Lu A. مساحت حوضه به کیلومترمربع.	$D_d = L_u / A$	(Dd) ^{۱۰}
Horton (1945)	Nu. تعداد کل رتبه‌های آبراهه، A. مساحت	$F_u = N_u / A$	(Fu) ^{۱۱}
Horton (1945)	Nu. تعداد کل رتبه‌های آبراهه، P. محیط	$T = N_u / P$	(T) ^{۱۲}
Horton (1945)	D _d تراکم زهکشی	$L_o = 1 / 2 D_d$	(Lo) ^{۱۳}
Horton (1945)	Fراوانی آبراهه، D _d . تراکم زهکشی	$I_f = F_u \times D_d$	(If) ^{۱۴}
Horton (1945)	مساحت حوضه، Lu. طول آبراهه‌ها	$C = \frac{A}{\sum_{i=1}^n L_u}$	(C) ^{۱۵}
Horton (1945)	طول آبراهه به کیلومتر، A. مساحت حوضه	$R_f = A / L_b^2$	(Rf) ^{۱۶}
Nooka et al (2005)	طول آبراهه به کیلومتر، A. مساحت حوضه	$B_s = L_b^2 / A$	(Bs) ^{۱۷}

1 Basin Area (A)

2 Basin perimeter (P)

3 Stream order (U)

4 Number of Streams (Nu)

5 Basin length (Lb)

6 Stream Length (Lu)

7 Mean stream length (Lsm)

8 Bifurcation ratio (Rb)

9 Mean bifurcation ratio (Rbm)

10 Drainage density (Dd)

11 Stream frequency (Fu)

22 Texture Ratio (T)

33 Length of Overland Flow (Lo)

44 Infiltration number (If)

55 constant of channel maintenance (C)

66 Form Factor (Rf)

77 Shape Factor (Bs)

ادامه جدول ۱

مراجع	توضیحات	رابطه	پارامترها
Schumm (1956)	A. مساحت حوضه، L_b . طول حوضه به کیلومتر	$R_e = 1.128 \sqrt{A/L_b}$	(Re) ^۱
Horton (1945)	P. محیط حوضه، A. مساحت حوضه	$Cc = P / 2\sqrt{\pi A}$	(Cc) ^۲
Miller (1953)	P. محیط حوضه A. $\pi = 3.14$	$R_c = 4 \times \pi \times A / p^2$	(Rc) ^۳
Moore et al (1991)	Dd. تراکم زهکشی، Bh. ناهمواری حوضه به متر	$R_n = D_d \times (B_h / 1000)$	(Rn) ^۴
Horton (1945)	h. حداقل ارتفاع به متر، h1. حداقل ارتفاع به متر	$B_h = h - h_1$	(Bh) ^۵
Schumm (1956)	Bh. ناهمواری حوضه، L_b . طول جو پهنه به کیلومتر	$Rh = B_h / L_b$	(Rh) ^۶
Nautiyal (1994)	ΔH . اختلاف ارتفاع حوضه، A. مساحت	$sm = \frac{\Delta H}{\sqrt{A}} \times 100$	(S) ^۷

محیط، P. مساحت، U. رتبه آبراهه، Nu. تعداد کل آبراهه، L_b . طول حوضه، L . طول آبراهه، Lsm میانگین طول آبراهه، Rb. نسبت انشعاب، Rbm میانگین نسبت انشعاب، Dd. تراکم زهکشی، Fu. فراوانی آبراهه، T. نرخ بافت زهکشی، Lo. طول جریان خشکی، If. عدد نفوذ، C. ثابت نگهداری آبراهه، Rf. فاکتور فرم، Bs. فاکتور شکل، Re. نسبت کشیدگی، Cc. نسبت فشردگی، Rc. نسبت گردی، Rn. عدد ناهمواری. Bh. ناهمواری حوضه، Rh. نسبت ناهمواری، S. شب.

(VIKOR)^۸-۳- الگوریتم توافقی ویکور

روش ویکور به عنوان یک روش قابل کاربرد برای پیاده سازی در تصمیم گیری چند معیاره معرفی شد. ای روش بر رتبه بندی و انتخاب از مجموعه ای از گزینه ها با وجود معیارهای متناقض متمرکز است. راه حل توافقی که اساس آن توسط Yu و Zeleny در سال ۱۹۸۴ تأسیس شده بود، روش ویکور برای رتبه بندی گزینه ها می تواند در مراحل زیر توصیف گردد (Opricovic & Tzeng, 2004): گام نخست: تشکیل ماتریس تصمیم گیری (Huang et al, 2009).

- 1 Elongation Ratio (Re)
- 2 Compactness Coefficient (Cc)
- 3 Circularity Ratio (Rc)
- 4 Ruggedness number (Rn)
- 5 Basin relief (Bh)
- 6 Relief ratio (Rh)
- 7 Slope (S)
- 8 Vlse Kriterijumsk Optimizacija Kompromisno Resenje

$$D = \begin{bmatrix} a_{11} & a_{12} & \dots & a_{1n} \\ a_{21} & a_{22} & \dots & a_{2n} \\ \vdots & \vdots & & \vdots \\ a_{m1} & a_{m2} & \dots & a_{mn} \end{bmatrix}$$

گام دوم. محاسبه ماتریس نرمالیزه: در روش ویکور از روش خطی برای نرمال‌سازی استفاده می‌گردد (رابطه ۱).

$$RIJ = \frac{X_{IJ}}{\sum_1^M X_{ij}} \quad (1)$$

گام سوم. محاسبه وزن معیارها. مزیت مدل ویکور این است که ارزیابی همه معیارها به بررسی کارشناسی نیاز ندارد بلکه می‌توان از داده‌های خام نیز استفاده نمود. در این پژوهش با استفاده از روش AHP وزن هر یک از معیارها محاسبه گردید (روابط ۲ و ۳).

$$\sum_{j=1}^n w_j = 1 \quad (2)$$

$$w'_j = \frac{\lambda_j \cdot w_j}{\sum_{j=1}^n \lambda_j \cdot w_j} \quad (3)$$

گام چهارم. محاسبه ماتریس نرمالیزه وزین از طریق ضرب ماتریس نرمال در وزن هر یک از معیارها (رابطه ۴).

$$V = R_{II} * W_{n*n} \quad (4)$$

گام پنجم. تعیین بهترین مقدار X_j^* و بدترین مقدار \bar{X}_j کلیه توابع معیار ($j=1,2,\dots,n$): اگر نامین امینار، معیار سود باشد و بیشترین مقدار آن با توجه به هدف مفیدتر باشد، در این صورت $X_{ij}^- = \min X_{ij}$ و $X_j^+ = \max X_{ij}$ و $R_i = L_{\infty,i} = \max \left[\sum_{i=1}^n W_j (X_j^* - X_{ij}) / (X_j^* - \bar{X}_j) \right]$ با استفاده از روابط ۵ و ۶ می‌باشد. گام ششم. محاسبه مقادیر Si (شاخص مطلوبیت) و Ri (شاخص نارضایتی)، با استفاده از روابط ۵ و ۶

$$S_i = L_{1,i} = \frac{\sum_{i=1}^n W_j (X_j^* - X_{ij})}{(X_j^* - \bar{X}_j)} \quad (5)$$

$$R_i = L_{\infty,i} = \max \left[\sum_{i=1}^n W_j (X_j^* - X_{ij}) / (X_j^* - \bar{X}_j) \right] \quad (6)$$

که در آن: X_j^* : بزرگ‌ترین عدد ماتریس نرمال وزنی برای هر ستون، X_{ij} : عدد گزینه مورد نظر برای هر معیار در ماتریس نرمال وزنی، \bar{X}_j : کوچک‌ترین عدد ماتریس نرمال وزنی برای هر ستون، R_i : وزن نامین معیار امینت که بیانگر اهمیت نسبی معیارها می‌باشد. گام هفتم. محاسبه شاخص ویکور (Q) و رتبه بندی نهایی گزینه‌ها با استفاده از روابط ۷.

$$Q_i = V \times \frac{(S_i - S^*)}{(S^- - S^*)} + (1 - V) \times \frac{(R_i - R^*)}{(R^- - R^*)}(V)$$

که در آن: V = عدد ثابت $/5$ ، S_i : مجموع مقدار S برای هر گزینه، S^* : کوچکترین عدد شاخص S برای هر گزینه، S^- : بزرگترین عدد شاخص S برای هر گزینه، R^- : بزرگترین عدد شاخص R برای هر گزینه، R^* : کوچکترین عدد شاخص R برای هر گزینه، R_i : مقدار R برای هر گزینه . گام هشتم. انتخاب گزینه مناسب تر (A) که بهترین رتبه را با حداقل Q دارد (El-Santawy, 2012).

۴-۲- روش فاکتور ترکیب (CF)

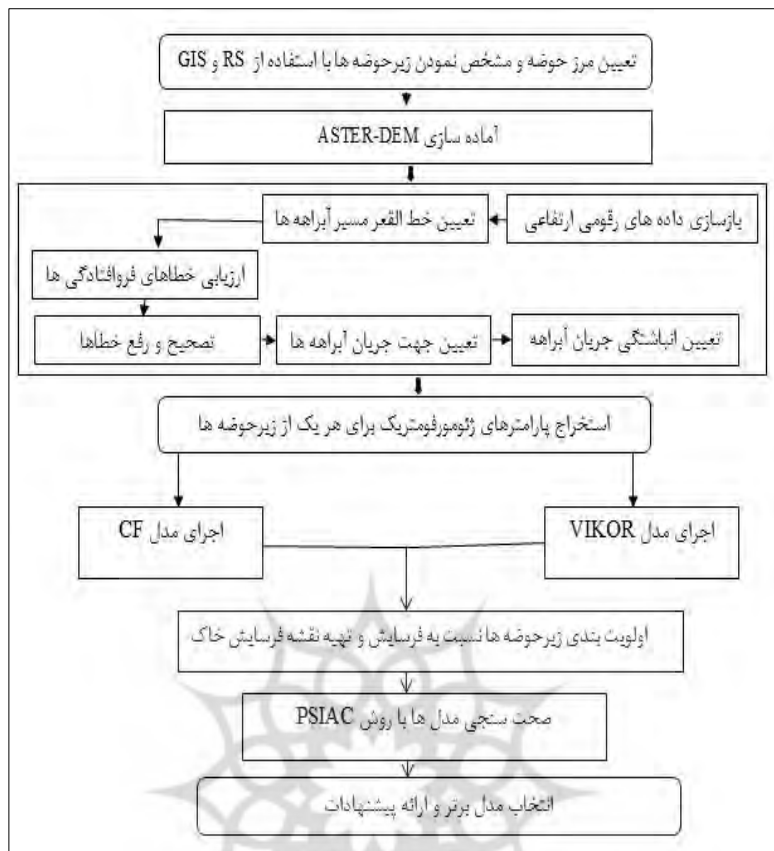
این مدل بر اساس اصول روش‌های داده محور می‌باشد (Todorovski & Džeroski, 2006) و فهم کیفی از یک پدیده را با استفاده از دانش علمی تبدیل به تخمین‌های کمی می‌کند. در این مدل تعداد رتبه‌ها بر اساس تعداد زیرحوضه‌ها تعیین می‌گردد؛ به طور مثال در این پژوهش که ۱۱ زیرحوضه داریم رتبه‌ها از ۱ تا ۱۱ برای زیرحوضه‌ها متغیر است و برای هر یک از پارامترهای مورفومتری، زیرحوضه‌هایی که حساسیت بالایی نسبت به فرسایش دارند امتیاز ۱ را دریافت می‌کنند و بالعکس. میانگین امتیازات تمامی پارامترهای ژئومورفومتریک برای هر یک از زیرحوضه‌ها بیانگر امتیاز ترکیبی و تأثیر ترکیبی تمامی پارامترهای ژئومورفومتریک در حساسیت فرسایش هر یک از زیرحوضه‌ها می‌باشد. نحوه محاسبه آن از طریق رابطه ۸ است:

$$C_P = \frac{1}{n \sum_{i=1}^n R} \quad (8)$$

که در آن R امتیاز یک زیرحوضه با توجه به هر یک از پارامترهای ژئومورفومتریک و n تعداد پارامترها می‌باشد.

۵-۲- روش PSIAC

روش PSIAC در سال ۱۹۶۶ میلادی توسط کمیته مدیریت آب در آمریکا برای محاسبه شدت فرسایش خاک و تولید رسوب مناطق خشک و نیمه‌خشک غرب ایالات متحده آمریکا ارائه گردید و در یک حوضه آبخیز تحقیقاتی به نام والنات گالش واقع در جنوب شرقی ایالات آریزونای آمریکا آزمایش شد (Pacific Southwest Inter-Agency Committee, 1968). در این روش تأثیر نه پارامتر مهم و مؤثر زمین‌شناسی سطحی، خاک، آب و هوای رواناب، پستی و بلندی، پوشش زمین، کاربری زمین، وضعیت فعلی فرسایش در سطح حوضه، فرسایش رودخانه‌ای و حمل رسوب بررسی می‌گردد. بسته به شدت و ضعف هر عامل عددی به آن نسبت داده می‌شود و سرانجام با در نظر گرفتن مجموع اعداد به دست آمده برای عوامل مختلف، میزان رسوبدهی حوضه برآورد می‌گردد (Inter-Agency Committee, 1968).



شکل-۳-مراحل تحقیق

۳- نتایج و بحث

ژئومورفومنتری حوضه آبخیز توصیف کاملی از ارتباطات بین فرآیندهای مختلف سطح زمین و اجزاء مختلف سیستم زمین مانند ژئومورفولوژی، هیدرولوژی و زمین‌شناسی فراهم می‌کند (Malik et al., 2011). مشخصات سیستم‌زهکشی حوضه آبخیز تاثیر زیادی در ظرفیت نفوذ و رواناب آن دارد (Moore et al., 1991). برخی از پارامترهای ژئومورفومنتریک به طور مستقیم به عنوان شاخص‌های شدت فرسایش خاک در نظر گرفته می‌شوند و به عنوان پارامترهای ارزیابی ریسک فرسایش نامگذاری شده‌اند که شامل پارامترهای ژئومورفومنتریک خطی، شکلی و توپوگرافیک می‌باشند. آنالیز کمی حوضه آبخیز منج و ۱۱ زیرحوضه آن به منظور ارزیابی ویژگی‌ها و خصوصیات ژئومورفومنتریک شبکه‌زهکشی هر یک از زیرحوضه‌ها و بررسی حساسیت فرسایش در هر یک از زیرحوضه‌ها انجام پذیرفت (جدول ۲). در این خصوص ۲۲ پارامتر ژئومورفومنتریک که بیانگر ویژگی‌های پایه، خطی، شکلی و توپوگرافیک حوضه آبخیز می‌باشد مورد بررسی قرار گرفت. بر اساس رتبه‌بندی آبراهه‌ها، حوضه آبخیز منج به عنوان یک حوضه ۵ رتبه‌ای با مساحت ۷۰/۷۱ کیلومترمربع و محیط ۱۲۳/۳۷ کیلومتر طبقه‌بندی گردید. تعداد کل

آبراهه‌های حوضه ۲۲۰۴ می‌باشد. طول کل آبراهه‌ها در رده‌های مختلف ۳۳۷/۹۳ کیلومتر می‌باشد. مقادیر طول آبراهه‌ها در حوضه از حداقل ۴/۶۲ کیلومتر برای حوضه ۶ تا حداکثر ۹۱/۶۲ کیلومتر برای حوضه ۷ متغیر است. مقادیر میانگین طول آبراهه از حداقل ۱۲۱۶/۰ برای حوضه ۶ تا حداکثر ۱۸۷۷/۰ برای زیرحوضه ۸ متغیر است. حداقل ارتفاع حوضه ۱۱۰ و حداکثر آن ۱۹۹۹ متر می‌باشد.

جدول ۲- استخراج پارامترهای ژئومورفومنیریک زیرحوضه‌ها

۱۱	۱۰	۹	۸	۷	۶	۵	۴	۳	۲	۱	
۴/۷۹	۱۱	۲	۲/۱۲	۲۰/۴۸	۱/۳۷	۱۳/۹۸	۲/۹	۱/۶۱	۸/۲۷	۲/۲۳	(A)
۱۱/۰۱	۱۵/۹۹	۸/۱۵	۶/۱۹	۲۱/۱۴	۴/۹۱	۲۰/۶۶	۸/۲۱	۵/۸۶	۱۴/۶	۶/۶۵	(P)
۳	۴	۳	۳	۵	۳	۵	۴	۳	۴	۳	(U)
۱۲۱	۳۵۳	۶۸	۴۷	۶۶۳	۳۸	۴۶۲	۷۱	۶۶	۲۴۵	۷۴	(Nu)
۳/۲	۵/۱۶	۱/۹۶	۲/۰۲	۷/۳۴	۱/۰۸	۵/۹۱	۲/۴۲	۱/۸۳	۴/۳۹	۲/۰۹	(Lb)
۲۱/۸۵	۵۶/۸	۹/۸۷	۸/۸۲	۹۱/۶۲	۴/۶۲	۶۷/۳۱	۱۱/۰۵	۸/۲۲	۳۳/۹۴	۱۳/۳۳	(Lu)
۰/۴۶۲	۰/۷۳	۰/۳۳۶	۰/۷۳۷	۰/۶۶	۰/۱۸۵	۰/۴۸۰	۰/۲۱۰	۰/۴۷	۰/۸۲۵	۰/۹۱۵	(Bh)
۰/۱۸	۰/۱۶	۰/۱۴۵	۰/۱۸۷	۰/۱۳۸	۰/۱۲۱	۰/۱۴۵	۰/۱۶۲	۰/۱۲۴	۰/۱۳۸	۰/۱۸	(Lsm)
۴/۲۱	۵/۰۵	۴	۴/۶	۶/۰۵	۹	۱۰	۶/۵۲	۳/۷	۵/۹۱	۵/۸۵	(Rbm)
۴/۰۹	۵/۱۶	۴/۹۴	۴/۱۷	۴/۴۷	۳/۳۹	۴/۸۲	۳/۹۸	۵/۱۲	۴/۱	۵/۹۷	(Dd)
۲۰/۴۵	۳۲/۰۹	۳۴/۰۴	۲۲/۱۹	۳۲/۳۸	۲۷/۸۴	۳۳/۰۵	۲۴/۴۸	۴۱/۱۰	۲۹/۶۱	۳۳/۱۳	(Fu)
۱۰/۹۹	۲۲/۰۷	۸/۳۴	۷/۰۹	۳۱/۳۷	۷/۷۴	۲۲/۱۶	۸/۶۴	۱۱/۲۷	۱۶/۷۸	۱۱/۱۳	(T)
۲/۲۹	۲/۰۸	۲/۴۶	۲/۰۸	۲/۲۳	۱/۶۹	۲/۴۰	۱/۹۹	۲/۰۵	۲/۰۵	۲/۹۸	(Lo)
۱۱۶/۹	۱۶۵/۷	۱۶۷/۱	۹۲/۴	۱۴۴/۸	۹۴/۲	۱۰۹/۱	۹۷/۴	۲۱۰/۲	۱۲۱/۴	۱۹۷/۷	(If)
۰/۲۲	۰/۱۹	۰/۲۰	۰/۲۴	۰/۲۲	۰/۳۰	۰/۲۱	۰/۲۵	۰/۲۰	۰/۲۴	۰/۱۷	(C)
۰/۴۶۳	۰/۴۱۳	۰/۰۲۱	۰/۰۱۷	۰/۳۸۰	۰/۰۵۴۹	۰/۴۰۰	۰/۰۴۹۵	۰/۰۵۳۷	۰/۰۴۲۹	۰/۰۵۱۳	(Rf)
۲/۱۰	۲/۴۱	۱/۹۱	۱/۹۳	۲/۶۳	۱/۸۲	۲/۴۹	۲/۰۱	۱/۸۶	۲/۳۲	۱/۹۴	(Bs)
۰/۷۷	۰/۷۳	۰/۰۸۲	۰/۰۸۱	۰/۰۷۰	۰/۰۸۴	۰/۰۷۱	۰/۰۷۹	۰/۰۸۳	۰/۰۷۴	۰/۰۸۱	(Re)
۱/۴۱	۱/۳۵	۱/۶۲	۱/۱۹	۱/۳۱	۱/۱۸	۱/۰۵	۱/۰۵	۱/۲۹	۱/۴۲	۱/۲۵	(Cc)
۰/۴۹	۰/۰۵۴	۰/۰۳۸	۰/۰۰۹	۰/۰۵۸	۰/۰۷۱	۰/۰۴۱	۰/۰۵۴	۰/۰۵۹	۰/۰۴۹	۰/۰۶۳	(Rc)
۲/۱۲	۳/۲۵	۱/۶۵	۳/۰۷	۲/۹۵	۰/۰۲	۲/۳۱	۰/۰۸۳	۲/۴۴	۳/۳۸	۰/۰۴۰	(Rn)
۰/۱۴	۰/۱۲	۰/۱۷	۰/۰۳۶	۰/۰۰۹	۰/۱۲	۰/۰۸	۰/۰۹	۰/۰۲۸	۰/۰۱۹	۰/۰۴۴	(Rh)
۳۷/۱۲	۲۷/۱۳	۲۱/۳۴	۳۲/۲۱	۱۴/۲۱	۲۳/۷۶	۲۴/۱۳	۲۲/۷۶	۱۹/۶۰	۲۳/۶۵	۲۷/۲۱	(S)

۳-۱- اولویت‌بندی فرسایش‌پذیری زیرحوضه‌ها با روش فاکتور ترکیب

آنالیز ژئومورفومتریک حوضه‌های زهکشی بهمنظور اولویت‌بندی زیرحوضه‌ها در مقیاس‌های مختلف با موفقیت اجرا شده است (Patel et al., 2012; Abdul Rahaman et al., 2015; Farhan & Anaba, 2016). بهمنظور اولویت‌بندی زیرحوضه‌ها، پارامترهای ژئومورفومتریک ریسک فرسایش مرتبط با خصوصیات ژئومورفومتریک خطی، شکلی و توپوگرافیک حوضه آبخیز مورد استفاده قرار گرفت (Patel et al., 2013). پارامترهای خطی مورد استفاده شامل تراکم زهکشی (Dd)، فراوانی آبراهه (Fu)، میانگین نسبت انشعاب (Rbm)، بافت زهکشی (T)، ثابت نگهداشت آبراهه (C)، طول جریان خشکی (Lo) و عدد نفوذ (If) می‌باشد. پارامترهای شکلی شامل نسبت کشیدگی (Re)، نسبت گردی (Rc)، فاکتور فرم (Rf)، فاکتور شکل (Bs) و نسبت فشردگی (Cc) می‌باشد. پارامترهای توپوگرافیک شامل ناهمواری کلی (B_h)، شیب (S)، عدد ناهمواری (Rn) و نسبت ناهمواری (Rh) است. پارامترهای خطی و توپوگرافیک رابطه مستقیمی با فرسایش‌پذیری دارند (نوکا و همکاران، ۲۰۰۵: ۲۷)، در مقابل پارامتر شکل رابطه معکوس با فرسایش‌پذیری دارند؛ به‌گونه‌ای که هر چه مقدار این پارامترها کمتر باشد، حساسیت‌پذیری نسبت به فرسایش بیشتر است (Patel et al., 2013). برای مثال در پارامتر تراکم زهکشی که یک پارامتر خطی است، زیرحوضه‌ای که بالاترین تراکم زهکشی را دارد رتبه یک را دریافت می‌کند و در مقابل زیرحوضه‌ای که کمترین تراکم زهکشی را دارد آخرین رتبه را دریافت می‌کند. مقادیر فاکتور ترکیب برای هر یک از زیرحوضه‌ها از طریق جمع تمامی رتبه‌های پارامترهای خطی، شکلی و توپوگرافیک و سپس تقسیم آن بر تعداد پارامترها حاصل می‌گردد. زیرحوضه‌ای که کمترین مقدار فاکتور ترکیب را کسب نماید، از لحاظ اولویت‌بندی در رتبه نخست قرار گرفته و دارای بیشترین فرسایش‌پذیری می‌باشد (Patel et al., 2013). در نهایت تمامی زیرحوضه‌ها به ۴ گروه از نظر حساسیت به فرسایش با توجه به مقدار فاکتور ترکیب طبقه‌بندی می‌گردند (Nooka et al., 2005). حساسیت خیلی زیاد (۵/۹)، حساسیت زیاد (۶/۶-۷)، حساسیت متوسط (۷/۹-۷) و حساسیت کم (۸/۹-۸). نتایج حاصل از اولویت‌بندی زیرحوضه‌ها با روش فاکتور ترکیب در جدول ۳ نشان داده شده است. نتایج حاصل از اولویت‌بندی زیرحوضه‌ها با استفاده از روش فاکتور ترکیب نشان داد که زیرحوضه‌های ۱، ۲ و ۸ به ترتیب با کسب کمترین مقدار (۴/۸۱، ۵/۴۳ و ۵/۲۵) در رتبه‌های اول تا سوم قرار گرفته و حساسیت بیشتری نسبت به فرسایش از خود نشان داده‌اند و در مقابل زیرحوضه‌های ۶، ۹ و ۳ به ترتیب با کسب بیشترین مقدار (۷/۱۸، ۷/۰۶ و ۷/۸۷) در رتبه‌های آخر قرار گرفته‌اند و حساسیت کمتری را نسبت به فرسایش از خود نشان داده‌اند. زیرحوضه‌های ۱۰، ۷، ۵، ۱۱ و ۴ در رتبه‌های چهارم تا هشتم قرار گرفته‌اند. نتایج حاصل از طبقه‌بندی زیرحوضه‌ها از لحاظ فرسایش‌پذیری نشان داد که کل منطقه در ۳ کلاس حساسیت خیلی زیاد، زیاد و متوسط قرار گرفته است (شکل ۴، الف). طبق نتایج حاصل از

روش فاکتور ترکیب حوضه منج دارای حساسیت بالایی نسبت به فرسایش می‌باشد و تقریباً بیشتر مناطق حوضه مستعد فرسایش می‌باشد (شکل ۴).

جدول ۳- اولویت‌بندی فرسایش‌پذیری زیرحوضه‌ها با روش فاکتور ترکیب

زیرحوضه پارامتر	۱	۲	۳	۴	۵	۶	۷	۸	۹	۱۰	۱۱
Dd	۱	۹	۳	۱۰	۵	۱۱	۷	۸	۴	۲	۶
Fu	۳	۷	۱	۱۰	۴	۸	۵	۱۱	۲	۶	۹
Rbm	۶	۵	۱۱	۳	۱	۲	۴	۸	۱۰	۷	۹
T	۶	۴	۵	۸	۲	۱۰	۱	۱۱	۹	۳	۷
C	۱۱	۳	۹	۲	۷	۱	۵	۴	۸	۱۰	۶
Lo	۳	۸	۱۰	۴	۶	۱۱	۹	۱	۷	۵	۲
If	۱۰	۵	۱۱	۳	۷	۲	۶	۱	۹	۸	۴
Re	۷	۴	۱۰	۶	۲	۹	۱	۸	۱۱	۳	۵
Rc	۹	۳	۸	۵	۲	۱۱	۷	۱۰	۱	۶	۴
Rf	۷	۴	۱۰	۶	۲	۱۱	۱	۸	۹	۳	۵
Bs	۵	۸	۲	۶	۱۰	۱	۱۱	۴	۳	۹	۷
Cc	۳	۹	۴	۷	۱۰	۱	۵	۲	۱۱	۶	۸
Bh	۱	۲	۷	۱۰	۶	۱۱	۴	۳	۹	۵	۸
S	۳	۷	۱۰	۸	۵	۶	۱۱	۲	۹	۴	۱
Rn	۱	۲	۶	۹	۱۱	۱۰	۵	۴	۸	۳	۷
Rh	۱	۴	۳	۱۰	۱۱	۸	۹	۲	۵	۷	۶
Cf	۴/۸۱	۵/۲۵	۶/۸۷	۷/۶۸	۵/۶۸	۷/۰۶	۵/۶۸	۵/۴۳	۷/۱۸	۵/۴۳	۵/۸۷
رتبه	اول	دوم	نهم	هشتم	پنجم	دهم	ششم	سوم	یازدهم	چهارم	هفتم
حساسیت	خیلی زیاد	خیلی زیاد	زیاد	زیاد	خیلی زیاد	متوسط	خیلی زیاد	زیاد	متوسط	خیلی زیاد	خیلی زیاد

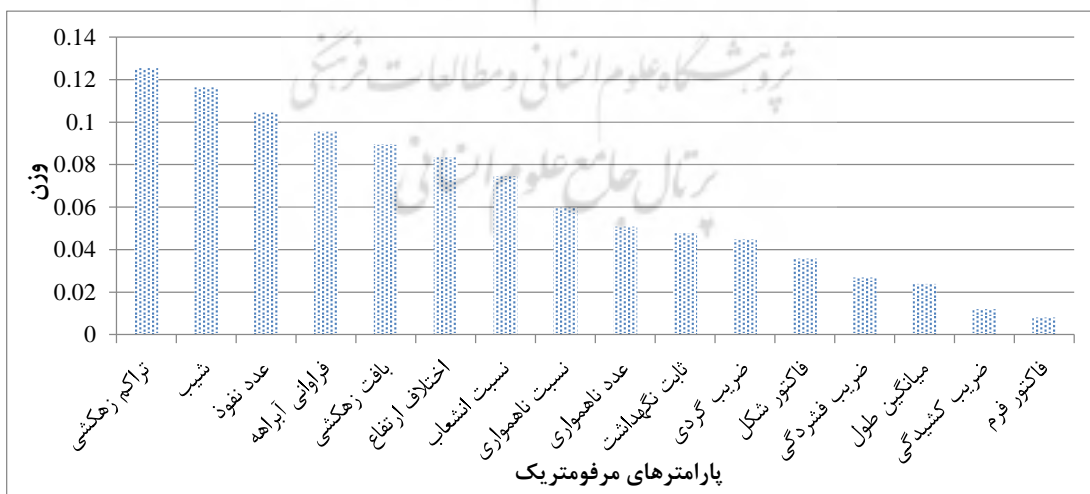
۲-۳- اولویت‌بندی فرسایش‌پذیری زیرحوضه‌ها با الگوریتم توافقی ویکور

اولویت‌بندی زیرحوضه‌ها با استفاده از الگوریتم توافقی ویکور شامل مراحل زیر است: ۱- تهیه ماتریس تصمیم اوایله (جدول ۲)، ۲- نرمالیزه کردن ماتریس تصمیم اوایله به منظور بی‌بعد کردن پارامترها طبق رابطه ۱، ۳- تعیین وزن پارامترها با استفاده از روش تحلیل سلسله مرتبی^۱ طبق رابطه ۲ و ۳ (شکل ۴)، ۴- تهیه ماتریس بی‌بعد وزین طبق

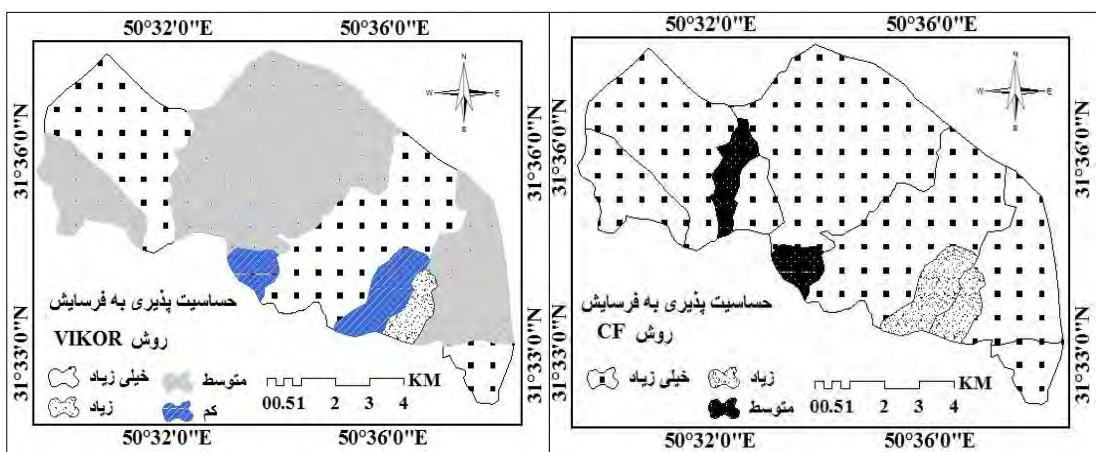
رابطه ۴-۵- محاسبه مقادیر شاخص مطلوبیت و شاخص ناسازگاری طبق روابط ۵ و ۶ و در نهایت اولویت‌بندی زیرحوضه‌ها بر اساس رابطه ۷ (جدول ۴) می‌باشد. در شکل (۵، ب) طبقه‌بندی حساسیت به فرسایش نشان داده شده است و در شکل ۶ مساحت هر یک از طبقات فرسایش‌پذیری در روش‌های VIKOR و فاکتور ترکیب نشان داده شده است.

جدول ۴- اولویت‌بندی فرسایش‌پذیری زیرحوضه‌ها با روش VIKOR

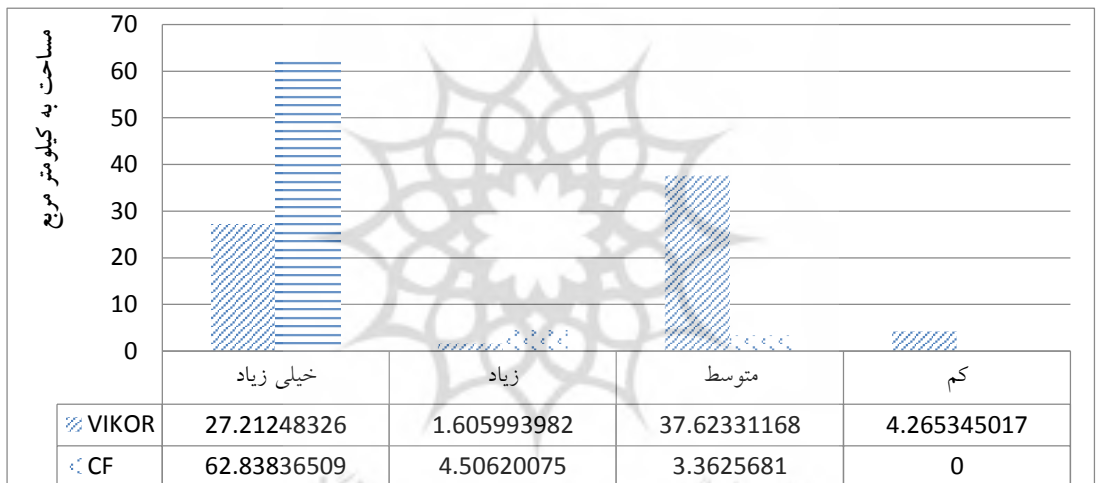
درصد مساحت	مساحت (KM2)	حساسیت به فرسایش	اولویت بندی	Q_i	شاخص ناسازگاری (Ri)	شاخص مطلوبیت (Si)	زیر حوضه
۳/۱۵	۲/۲۳	خیلی زیاد	اول	۰/۸۵۲۴	۰/۰۷۶۲	۰/۳۴۳۵	۱
۱۱/۷۰	۸/۲۷	متوسط	ششم	۰/۴۷۲۰	۰/۰۹۰۵	۰/۵۶۹۷	۲
۲/۲۷	۱/۶۱	زیاد	چهارم	۰/۵۷۴۴	۰/۰۸۷۵	۰/۵۰۴۱	۳
۴/۱۰	۲/۹	کم	دهم	۰/۱۸۱۹	۰/۱۰۰۰	۰/۷۵۱۲	۴
۱۹/۷۷	۱۳/۹۸	خیلی زیاد	سوم	۰/۷۶۲۸	۰/۰۶۳۷	۰/۴۸۹۷	۵
۱/۹۳	۱/۳۷	کم	یازدهم	۰/۰۰۵۲	۰/۱۲۵۳	۰/۷۴۷	۶
۲۸/۹۶	۲۰/۴۸	متوسط	نهم	۰/۲۸۵۸	۰/۱۱۶۴	۰/۵۷۰۵	۷
۲/۹۹	۲/۱۲	متوسط	هشتم	۰/۳۲۷۴	۰/۱۰۴۴	۰/۶۰۶۴	۸
۲/۸۲	۲	متوسط	هفتم	۰/۴۵۲۱	۰/۰۸۶۷	۰/۶۰۸۵	۹
۱۰/۵۵	۱۱	خیلی زیاد	دوم	۰/۸۲۴۰	۰/۰۵۵۶	۰/۴۸۷۰	۱۰
۶/۷۲	۴/۷۶	متوسط	پنجم	۰/۴۹۴۳	۰/۰۸۲۷	۰/۵۹۷۲	۱۱



شکل ۴- وزن هر یک از پارامترها با روش تحلیل سلسله مراتبی (AHP)



شکل ۵- نقشه حساسیت به فرسایش. الف. روش فاکتور ترکیب، ب. روش ویکور



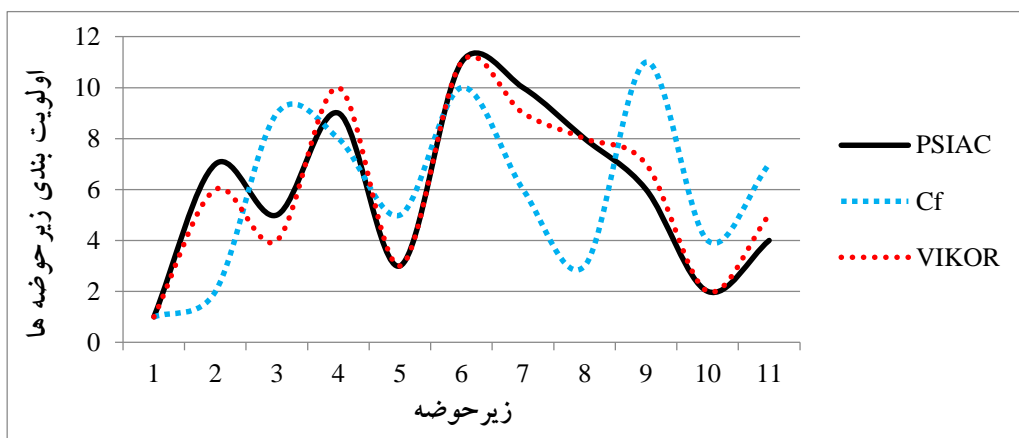
شکل ۶- مساحت هر یک از طبقات فرسایش‌پذیری در روش‌های ویکور و فاکتور ترکیب

نتایج حاصل از وزن‌دهی پارامترهای رئومورفومتریک مؤثر در فرسایش‌پذیری با استفاده از روش AHP نشان داد که پارامترهای تراکم‌زهکشی، شیب و عدد نفوذ به ترتیب با کسب امتیازات (۰/۱۲۵، ۰/۱۱۶ و ۰/۱۰۴) بیشترین تأثیر را در فرسایش‌پذیری زیرحوضه‌ها داشته‌اند که با نتایج (Patel et al., 2012; Abdul Rahaman et al., 2015) مطابقت دارد و در مقابل پارامترهای فاکتور فرم، ضریب کشیدگی و طول جریان خشکی به ترتیب با کسب کمترین امتیازات (۰/۰۰۸، ۰/۰۱۱ و ۰/۰۲۳) کمترین تأثیر را فرایش‌پذیری زیرحوضه‌ها داشته است که با نتایج (رحمتی و همکاران، ۱۳۹۴) مطابقت دارد. پارامترهای فراوانی آبراهه، بافت‌زهکشی، ناهمواری کلی، نسبت انشعاب، نسبت ناهمواری، عدد ناهمواری، ثابت نگهداشت، ضریب گردی، فاکتور شکل و ضریب فشردگی در رده‌های بعدی قرار گرفته‌اند. نتایج حاصل از اولویت‌بندی زیرحوضه‌ها از لحاظ حساسیت آنها نسبت به فرسایش با استفاده از الگوریتم

توافقی ویکور نشان داد که زیرحوضه‌های ۱، ۵ و ۱۰ به ترتیب با کسب بیشترین امتیازات (۰/۸۲۴، ۰/۸۵۲ و ۰/۸۷۲) بیشترین حساسیت را نسبت به فرسایش پذیری از خود نشان داده‌اند و در مقابل زیرحوضه‌های ۶، ۴ و ۷ به ترتیب با کسب کمترین امتیازات (۰/۰۰۵۲، ۰/۱۸۱۹ و ۰/۲۸۵۸) در رتبه‌های آخر قرار گرفته و مستعد فرسایش نمی‌باشند. زیرحوضه‌های ۳، ۲، ۹ و ۸ به ترتیب در رتبه‌های بعدی از لحاظ حساسیت به فرسایش قرار گرفته‌اند. از مهم‌ترین عواملی که باعث شده است زیرحوضه ۱ دارای بیشترین حساسیت نسبت به فرسایش باشد می‌توان به تراکم بالای آبراهه، فراوانی بالای آبراهه، دارا بودن بالاترین مقادیر ثابت نگهداشت آبراهه‌ها در میان زیرحوضه‌ها، بیشترین مقدار طول جریان خشکی در میان زیرحوضه‌ها، مقدار پایین نفوذ، بیشترین مقدار ناهمواری کلی و شیب زیاد آن اشاره نمود. امتیازات بدست آمده توسط زیرحوضه‌ها از حداقل ۰/۰۰۵ تا حداًکثر ۰/۸۵۲۴ متغیر می‌باشد که به ۴ گروه کم (۰/۰۲۵)، متوسط (۰/۰۵۰)، زیاد (۰/۰۷۵-۰/۰۵۰) و خیلی زیاد (۱-۰/۰۷۵) از لحاظ حساسیت به فرسایش تقسیم‌بندی گردیدند. طبق نتایج زیرحوضه‌های ۴ و ۶ در گروه حساسیت کم، زیرحوضه‌های ۹، ۷، ۲ و ۱۱ در گروه حساسیت متوسط، زیرحوضه ۳ در گروه حساسیت زیاد و زیرحوضه‌های ۱، ۵ و ۱۰ در گروه حساسیت خیلی زیاد نسبت به فرسایش قرار گرفتند. نتایج حاصل از اولویت‌بندی زیرحوضه‌ها با الگوریتم توافقی ویکور نشان داد که زیرحوضه ۱ بیشترین حساسیت را نسبت به فرسایش دارد.

۳-۳- صحبت‌سننجی روش‌ها

به منظور اعتبارسنجی مدل، مقادیر فرسایش ویژه برای هر زیرحوضه با روش PSIAC محاسبه گردید. نتایج حاصل از برآورد مقدار فرسایش ویژه با استفاده از روش PSIAC نشان داد که زیرحوضه‌های ۱، ۵ و ۱۰ به ترتیب با بیشترین مقدار فرسایش ویژه (۲۰/۴۲ و ۲۱/۵۸ و ۲۲/۶) تن در هکتار در سال بیشترین حساسیت را نسبت به فرسایش داشته‌اند و در مقابل زیرحوضه‌های ۴، ۷ و ۶ با کمترین مقدار فرسایش ویژه (۱۴/۴۰ و ۱۳/۰۵ و ۱۰/۷۵) تن در هکتار در سال حساسیت کمتری نسبت به فرسایش از خود نشان داده‌اند. زیرحوضه‌های ۱۱، ۳، ۹، ۲ و ۸ به ترتیب با مقدار فرسایش ویژه (۱۹/۸۶، ۱۸/۷۲، ۱۸/۲۵ و ۱۶/۴۲) تن در هکتار در سال در رتبه‌های چهارم تا هشتم از لحاظ حساسیت به فرسایش قرار گرفته‌اند. همان گونه که در شکل ۶ نشان داده شده است روش VIKOR در مقایسه با روش فاکتور ترکیب با دقت بالاتری به اولویت‌بندی زیرحوضه‌ها پرداخته است (شکل ۷).



شکل ۷- مقایسه روش‌های Cf و VIKOR در اولویت‌بندی زیرحوضه‌ها

۴- جمع‌بندی

پژوهش حاضر نشان داد که مدل رقومی ASTER به همراه تکنیک GIS ابزار مناسبی به منظور آنالیزهای ژئومورفومتریک، تعیین زیرحوضه‌ها و استخراج پارامترهای ژئومورفومتریک آن‌ها می‌باشد که با نتایج (Evangelin VIKOR (Ramani Sujatha et al., 2015; Yahya & Omar, 2016 با استفاده از مدل PSIAC نشان داد که هر دو مدل در شناسایی حساس‌ترین زیرحوضه به فرسایش به درستی عمل نموداند ولی در اولویت‌بندی کل زیرحوضه‌ها، روش VIKOR با دقت بیشتری به اولویت‌بندی زیرحوضه‌ها پرداخته است. طبقه‌بندی زیرحوضه‌ها از لحاظ حساسیت به فرسایش در مدل فاکتور ترکیب به ۳ کلاس حساسیت خیلی زیاد، زیاد و متوسط و در مدل VIKOR به چهار کلاس حساسیت خیلی زیاد، زیاد، متوسط و کم طبقه‌بندی گردیدند. نتایج حاصل از روش برتر VIKOR، نشان داد که از کل حوضه آبخیز به مساحت (۷۰/۷۰/۷ کیلومترمربع)، ۲۷/۲۱ کیلومترمربع (۳۸/۴۸ درصد) در کلاس حساسیت به فرسایش خیلی زیاد، ۱/۶۰ کیلومترمربع (۲/۲۷ درصد) در کلاس حساسیت زیاد، ۳۷/۶۲ کیلومترمربع (۵۳/۲۱ درصد) در کلاس حساسیت متوسط و ۴/۲۶ کیلومترمربع (۷/۰۳۲ درصد) در کلاس حساسیت کم قرار گرفته‌اند و از کل حوضه مطالعاتی در روش CF، ۶۲/۸۳ کیلومترمربع (۸۸/۸۷ درصد) در کلاس حساسیت خیلی زیاد، ۶۳۷ کیلومترمربع (۴/۵۰ درصد) در کلاس حساسیت زیاد و ۴/۷۵ کیلومترمربع (۳/۳۶ درصد) در کلاس حساسیت متوسط قرار گرفته‌اند. با توجه به حساسیت بالای حوضه آبخیز منج نسبت به فرسایش، پیشنهاد می‌گردد اقدامات حفاظتی لازم به منظور به حداقل رساندن میزان فرسایش خاک، کاهش تولید رسوب در مخازن، تثیت دامنه‌های شیب‌دار در مقابل زمین لغزش و کاهش پتانسیل سیل خیزی در آینده صورت گیرد. پژوهش حاضر نشان داد که استفاده از تکنیک‌های GIS و RS در اولویت‌بندی زیرحوضه‌ها در کنار پارامترهای ژئومورفومتریک و روش‌های جدید مانند VIKOR می‌تواند برای تصمیم‌گیران و برنامه‌ریزان منابع آب و

خاک برای اتخاذ تصمیمات مناسب جهت کنترل فرسایش خاک مناسب باشد که با نتایج (رحمتی و همکاران، ۱۳۹۴؛ فلاح و همکاران، ۱۳۹۴) مطابقت دارد. در این زمینه اولویت‌بندی زیرحوضه‌ها به عنوان یک روش شناسایی عملگر که می‌تواند در زمینه مدیریت حوضه آبخیز، توسعه منابع طبیعی و حفاظت از منابع آب و خاک در نظر گرفته شد.

کتابنامه

آمانی، محمد؛ نجفی نژاد، علی؛ ۱۳۹۳. اولویت‌بندی زیرحوضه‌ها با استفاده از آنالیز مورفومنتری، فنون سنجش از دور و GIS، حوضه آبخیز لهندر، استان گلستان. پژوهشنامه مدیریت حوضه آبخیز، شماره ۹، ۱۵-۱. رحمتی، امید؛ طهماسبی پور، ناصر؛ پورقاسمی، حمیدرضا؛ ۱۳۹۴. اولویت‌بندی سیل خیزی زیرحوضه‌های آبخیز استان گلستان بر اساس آنالیز مورفومنتریک و همبستگی آماری. اکوهیدرولوژی، شماره ۲، ۱۵۱-۱۶۱. فلاح، مقدسه؛ محمدی، مازیار؛ کاویان، عط الله؛ ۱۳۹۴. اولویت‌بندی زیرحوضه‌ها با استفاده از آنالیز مورفومنتری و تغییرات کاربری اراضی در حوضه آبخیز تالار استان مازندران. اکوهیدرولوژی، شماره ۳، ۲۶۱-۲۷۴.

- Abdel-Latif, A., & Sherief, Y., 2012. Morphometric Analysis and Flash Floods of Wadi Sudr and Wadi Wardan, Gulf of Suez, Egypt: Using Digital Elevation Model. Arab Journal of Geosciences, 5, 181-195.
- Abdul Rahaman, S., Abdul Ajeez, S., Aruchamy, S., & Jegankumar, R., 2015. Prioritization of Sub Watersheds Based on Morphometric Characteristics Using Fuzzy Analytical Hierarchy Process and Geographical Information System—A Study of Kallar Watershed, Tamil Nadu. Aquatic Procedia, 4, 1322-1330.
- Arabameri, A.R., Pourghasemi, H.R., & Cerdà, A., 2018. Erodibility prioritization of sub-watersheds using morphometric parameters analysis and its mapping: A comparison among TOPSIS, VIKOR, SAW, and CF multi-criteria decision making models. Science of the Total Environment, 613–614, 1385–1400.
- Chatterjee, S., Krishna, A.P., & Sharma, P., 2013. Geospatial assessment of soil erosion vulnerability at watershed level in some sections of the Upper Subarnarekha river basin, Jharkhand, India. Environmental Earth Sciences, 71(1), 357–74.
- Dehn, M., Grtner, H., & Dikau, R., 2001. Principles of semantic modeling of landform structures. Comput. Geosci., 27 (8), 1005– 1010.
- El-Santawy, M.F., 2012. A VIKOR Method for Solving Personnel Training Selection Problem. International Journal of Computing Science, 1 (2), 9-12.
- Evangelin Ramani, S., Selvakumar, R., Rajasimman, U.A.B., & Rajamanickam, G., 2015. Morphometric analysis of sub-watershed in parts of Western Ghats, South India using ASTER EM, Geomatics. Natural Hazards and Risk, 6, 326-341.
- Evans, I.S., 1972. General Geomorphology, Derivatives of Altitude and Descriptive Statistics, In R.J. Chorley (Ed.), Spatial Analysis in Geomorphology (pp. 17-90. London: Methuen & Co. Ltd.
- Farhan, Y., & Anaba, O., 2016. A Remote Sensing and GIS Approach for Prioritization of Wadi Shueib Mini-Watersheds (Central Jordan) Based on Morphometric and Soil Erosion Susceptibility Analysis. Journal of Geographic Information System, 8, 1-19.

- Farhan, Y., Anbar, A., Enaba, O., & Al-Shaikh, N., 2015. Quantitative Analysis of Geomorphometric Parameters of Wadi Kerak, Jordan, Using Remote Sensing and GIS. *Journal of Water Resource and Protection*, 7, 456-475.
- Gessesse, B., Bewket, W., & Bräuning, A., 2015. Model-based characterization and monitoring of runoff and soil erosion in response to land use/land cover changes in the Modjo watershed, Ethiopia. *Land Degrad. Dev.*, 26, 711–724.
- Horton, R., 1945. Erosional Development of Streams and Their Drainage Basins; Hydrophysical Approach to Quantitative Morphology. *Geological Society of America Bulletin*, 56, 275-370.
- Huang, J.J., Tzeng, G.H., & Liu, H.H., 2009. A Revised VIKOR Model for Multiple Criteria Decision Making - The Perspective of Regret Theory. In *Cutting-Edge Research Topics on Multiple Criteria Decision Making*, 35, 761-768.
- Iqbal, M., & Sajjad, H., 2014. Watershed Prioritization using Morphometric and Land Use/Land Cover Parameters of Dudhganga Catchment Kashmir Valley India using Spatial Technology. *J Geophys Remote Sens*, 3. 1-12.
- Jang, T., Vellidis, G., Hyman, J.B., Brooks, E., Kurkalova, L.A., Boll, J., & Cho, J., 2013. Model for Prioritizing best management practice implementation: sediment load reduction. *Environ. Manage.*, 51, 209–224.
- Keesstra, S., Pereira, P., Novara, A., Brevik, E. C., Azorin- Molina, C., Parras-Alcántara, L., Jordán, A., & Cerdà, A., 2016. Effects of soil management techniques on soil water erosion in apricot orchards. *Sci. Total Environ.*, 551, 357–366.
- Kosmas, P., Niki, E., & Andreas, V., 2009. *Mapping Geomorphological Environments*, Springer.
- Malik, M., Bhat, M., & Kuchay, N.A., 2011. Watershed based drainage morphometric analysis of Lidder catchment in Kashmir valley using Geographical Information System. *Recent Res in Sci and Tech*, 3(4), 118–260.
- Miller, V., 1953. A Quantitative Geomorphic Study of Drainage Basin Characteristics in the Clinch Mountain Area, Virginia and Tennessee. Project NR 389-402, Technical Report 3, Columbia University, Department of Geology, ONR, New York.
- Moore, I.D., Grayson, R.B., & Ladson, A.R., 1991. Digital terrain modelling: a review of hydrological, geomorphological and biological applications. *Hydrol Process*, 5(1). 3–30
- Nautiyal, M.D., 1994. Morphometric analysis of drainage basin, district Dehradun, Uttar Pradesh. *Indian Soc. Remote Sensing*, 22(4), 252–262.
- Nooka Ratnam, K., Srivastava, Y.K., Venkateshwara Rao, V., Amminedu, E., & Murthy, K.S.R., 2005. Check Dam Positioning by Prioritization of Micro-Watersheds Using SYI Model and Morphometric Analysis—Remote Sensing and GIS Perspective. *Journal of the Indian Society of Remote Sensing*, 33, 25-38.
- Okumura, M., & Araujo, A.G., 2014. Long-term cultural stability in hunter-gatherers: a case study using traditional and geometric morphometric analysis of lithic stemmed bifacial points from Southern Brazil. *J Archaeol Sci*, 45, 59–71.
- Oprićović, S., & Tzeng, G.H., 2004. Compromise solution by MCDM methods: A comparative analysis of VIKOR and TOPSIS. *European Journal of Operational Research*, 156 (2), 445-455.
- Pacific Southwest Inter-Agency Committee., 1968. Report on factors affecting sediment yield in the Pacific Southwest area and selection and evaluation of measures for the reduction of erosion and sediment yield, Water Management Subcommittee, Sedimentation Task Force.
- Patel, D., Dholakia, M., Naresh, N., & Srivastava, P., 2012. Water Harvesting Structure Positioning by Using Geo-Visualization Concept and Prioritization of Mini-Watersheds

- through Morphometric Analysis in the Lower Tapi Basin. *Journal of the Indian Society of Remote Sensing*, 40, 299-312.
- Patel, D., Gajjar, C., & Srivastava, P., 2013. Prioritization of Malesari Mini-Watersheds through Morphometric Analysis: A Remote Sensing and GIS Perspective. *Environmental Earth Sciences*, 69, 2643-2656.
- Pike, R.J., Evans, I.S., & Hengl, T., 2009. Geomorphometry: A Brief Guide. In T. Hengl & H.I. Reuter (Eds.), *Developments in Soil Science* (pp. 1-765). Elsevier.
- Prosdocimi, M., Cerdà, A., & Tarolli, P., 2016. Soil water erosion on Mediterranean vineyards: A review. *Catena*, 141, 1-21.
- PSIAC Report., 2000. Sediment assessment and evaluation study for Lake Louise and Cottonwood Lake Hand, Hyde, Faulk, and Spink Counties South Dakota, United States Department of Agriculture Natural Resources Conservation Service South Dakota in Cooperation with South Dakota. Department of Environment and Natural Resources and Hand County Conservation District.
- Schumm, S., 1956. Evolution of Drainage Systems and Slopes in Badlands at Perth Amboy, New Jersey. *Geological Society of America Bulletin*, 67, 597-646.
- Shary, P., Sharaya, L., & Mitusov, A., 2002. Fundamental quantitative methods of landsurface analysis. *Geoderma*, 107, 1-32.
- Singh, O., Sarangi, A., & Sharma, M., 2008. Hypsometric Integral Estimation Methods and Its Relevance on Erosion Status of North-Western Lesser Himalayan Watersheds. *Water Resources Management*, 22, 1545-1560.
- Strahler, A., 1957. Quantitative Analysis of Watershed Geomorphology. *Transactions. American Geophysical Union*, 38, 913-920.
- Todorovski, L., & Džeroski, S., 2006. Integrating knowledge driven and data-driven approaches to modeling. *Ecol. Model.*, 194 (1), 3-13.
- Yahya, F., & Omar, A., 2016. A Remote Sensing and GIS Approach for Prioritization of Wadi Shueib Mini-Watersheds (Central Jordan) Based on Morphometric and Soil Erosion Susceptibility Analysis. *Journal of Geographic Information System*, 8, 1-19.

پژوهشگاه علوم انسانی و مطالعات فرهنگی
پرستال جامع علوم انسانی